

(東北大院・理) ○水瀬 賢太, 三上 直彦, 藤井 朱鳥

【序】 凝縮相の水の構造を分子レベルで解明することを究極の目的として、その微視的モデルである水クラスター $(H_2O)_n$ やプロトン付加水クラスター $H^+(H_2O)_n$ の構造が盛んに研究されてきた。¹⁻³ これらのクラスターはサイズ（構成分子数） n の増加とともに、段階的に凝縮相の水の構造に近づくと期待される系である。 $H^+(H_2O)_n$ や $(H_2O)_n$ の水素結合構造はそれぞれのサイズ n における赤外スペクトルに鋭敏に反映されることから、サイズ選別した上で赤外スペクトルを測定し、その解析を行うことがクラスター構造解明の鍵となる。しかし、中性の $(H_2O)_n$ ではサイズの選別が非常に困難であり、10量体程度が厳密なサイズ選別の限界となっている。¹一方、 $H^+(H_2O)_n$ は電荷を持つため、質量分析の手法と組み合わせることで、より大きなクラスターを対象とすることが可能となる。これまでの研究で、 $H^+(H_2O)_n$ は 10 量体程度以下のサイズでは鎖状のネットワーク構造を形成し、10 量体程度以上では網状、21 量体以上では 3 次元的な閉じた籠状の構造を形成することが明らかにされている。²さらに我々は最近、100 量体までの赤外スペクトルの測定に成功し、21–100 量体のクラスターが 4 配位の水分子を含むことを示した。^{3(b)} このように、100 分子までの水が作るネットワーク構造について、配位数の観点から考察してきたが、具体的な構造についてはいまだに解説されていない。また、巨大サイズクラスターが、サイズの増加とともにどのような構造に収束するか理解することは、凝縮相との比較の上でも重要な課題である。そこで本研究では、より大きな、より凝縮相に近いサイズ領域の開拓を目指し、巨大サイズプロトン付加水クラスター $H^+(H_2O)_n$ ($n \leq 200$) の赤外分光を行い、そのスペクトルのサイズ依存性から、最大で水 200 分子から構成されるような大規模水素結合ネットワーク構造を解明することを目的とした。

【実験】 赤外スペクトルは、光解離分光法によって測定した。超音速ジェット法と電子イオン化（加速電圧: 300 V）の組み合わせによって $H^+(H_2O)_n$ ($n \leq 200$) を生成させた。二段階質量分析器の初段目で目的サイズのクラスターのみを選別し、続くイオンガイド内で赤外光 (2800–3800 cm⁻¹) を照射した。赤外光の吸収波長では振動励起に続く前期解離によって、目的サイズのクラスターイオンの減少やフラグメントイオンの増大が起きる。これを二段目の質量分析器で観測することで、クラスターサイズ n を選別した赤外スペクトルを測定した。ここで $H^+(H_2O)_{200}$ といった巨大サイズクラスターは、短パルス高圧バルブ (Even-Lavie valve; パルス幅 ~25 μs; 背压 5–10 MPa (He)) を用いることで効率よく生成した。

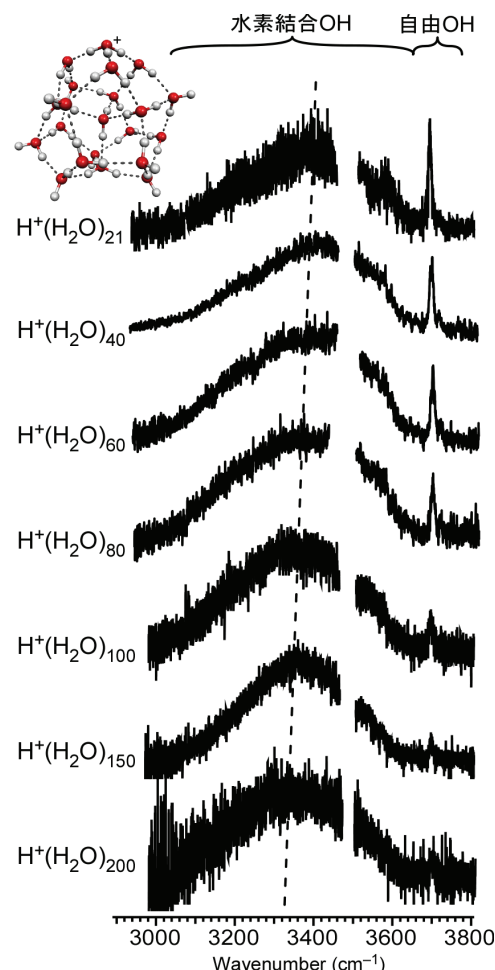


図 1 $H^+(H_2O)_n$ ($n = 21-200$) の赤外スペクトル。

【結果と考察】得られた $\text{H}^+(\text{H}_2\text{O})_n$ ($n = 21\text{--}200$) の赤外スペクトルを図 1 に示す。スペクトルはすべてのサイズでおおよそ似た構造であり、 3600 cm^{-1} 以下のブロードな水素結合 OH 伸縮振動のバンドと 3700 cm^{-1} 付近の自由 OH 伸縮振動のバンドが、すべてのサイズで観測された。まず自由 OH 伸縮振動領域では、21 量体以降すべてのサイズで 2 配位の分子によるバンド(3715 cm^{-1} 付近)の相対強度が非常に小さいことから、クラスターは主に 3 配位以上の水分子で構成されていることが分かる。また、自由 OH 伸縮振動バンドの相対強度はサイズとともに減少することが分かる。21 量体以上の自由 OH 伸縮振動バンドは 3 配位の水分子によるものと帰属されるため、観測された相対強度の減少は、サイズの増加に伴う 3 配位水分子の存在比の低下、つまり 4 配位水分子の増大を示している。

Figure 2 consists of two vertically stacked plots. The top plot shows the peak position of the hydrogen-bonded OH band (cm^{-1}) on the y-axis (ranging from 3150 to 3500) against the cluster size n on the x-axis (ranging from 0 to 200). It contains two data series: 'Water' (open circles) and 'Ice (I_h)' (filled circles). The peak positions for water are clustered between $n=10$ and $n=150$, with values around 3400-3450 cm^{-1} . The peak positions for ice are clustered between $n=10$ and $n=100$, with values around 3300-3350 cm^{-1} . The bottom plot shows the peak position of the free OH stretching band (cm^{-1}) on the y-axis (ranging from 3680 to 3710) against the same cluster size n on the x-axis. It also contains two data series: 'Water' (open circles) and 'Ice (I_h)' (filled circles). The peak positions for water are clustered between $n=10$ and $n=100$, with values around 3685-3705 cm^{-1} . The peak positions for ice are clustered between $n=10$ and $n=100$, with values around 3685-3705 cm^{-1} . An arrow on the right side of the bottom plot points upwards, labeled '弱' (weak) at the top and '強' (strong) at the bottom, indicating that the peak position shifts towards higher wavenumbers as hydrogen bonding strength increases.

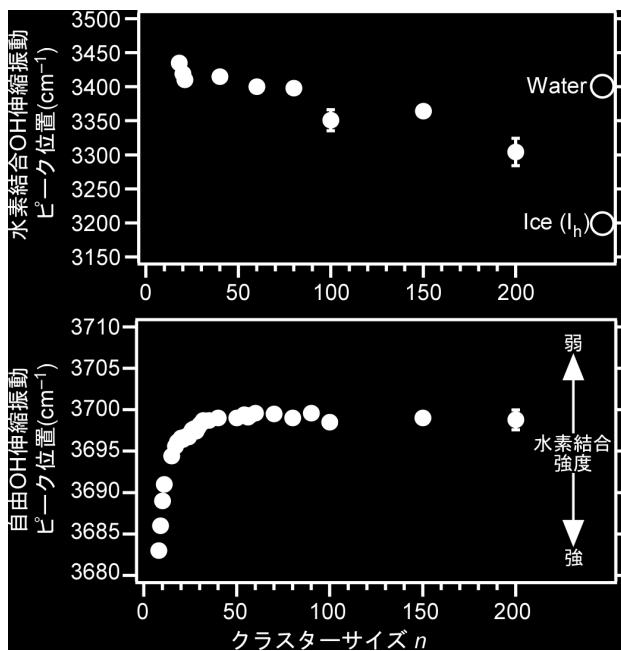


図2 (a) 水素結合 OH 伸縮振動バンドのピーク位置(●); 凝縮相の水と氷の吸収極大波長(○).⁵
 (b) 自由 OH 伸縮振動バンドのピーク位置.

- [1] (a) U. Buck *et al.*, *Phys. Rev. Lett.* **80**, 2578 (1998); (b) U. Buck, F. Huisken, *Chem. Rev.* **100**, 3863 (2000); (c) V. Buch *et al.*, *Int. Rev. Phys. Chem.* **23**, 375 (2004); (d) 濱島ら, 本討論会 1A21; (e)

[2] (a) M. Miyazaki *et al.*, *Science* **304**, 1134 (2004); (b) J.-W. Shin *et al.*, *Science* **304**, 1137 (2004); (c) C.-C. Wu *et al.*, *J. Chem. Phys.* **122**, 074315 (2005).

[3] (a) K. Mizuse *et al.*, *J. Chem. Phys.* **126**, 231101 (2007); (b) 水瀬ら, 第2回分子科学討論会 3B13.

[4] 自由OH伸縮の振動数は、周辺の水素結合が強いほど、自由OH基の電子密度の減少とともに低波数シフトする。

[5] (a) J.-B. Brubach *et al.*, *J. Chem. Phys.* **122**, 184509 (2005); (b) M. S. Bergren *et al.*, *J. Chem. Phys.* **69**, 3477 (1978)